

This Page Is Inserted by IFW Operations
and is not a part of the Official Record

BEST AVAILABLE IMAGES

Defective images within this document are accurate representations of the original documents submitted by the applicant.

Defects in the images may include (but are not limited to):

- BLACK BORDERS
- TEXT CUT OFF AT TOP, BOTTOM OR SIDES
- FADED TEXT
- ILLEGIBLE TEXT
- SKEWED/SLANTED IMAGES
- COLORED PHOTOS
- BLACK OR VERY BLACK AND WHITE DARK PHOTOS
- GRAY SCALE DOCUMENTS

IMAGES ARE BEST AVAILABLE COPY.

As rescanning documents *will not* correct images,
Please do not report the images to the
Image Problem Mailbox.



EUROPÄISCHE PATENTANMELDUNG

2

21 Anmeldenummer: 90114796.7

51 Int. Cl.5: H04J 3/16, H04J 3/08

22 Anmeldetag: 01.08.90

30 Priorität: 31.08.89 DE 3928905
08.09.89 DE 3930007

43 Veröffentlichungstag der Anmeldung:
06.03.91 Patentblatt 91/10

84 Benannte Vertragsstaaten:
AT BE CH DE DK ES FR GB GR IT LI NL SE

71 Anmelder: Siemens Aktiengesellschaft
Wittelsbacherplatz 2
W-8000 München 2(DE)

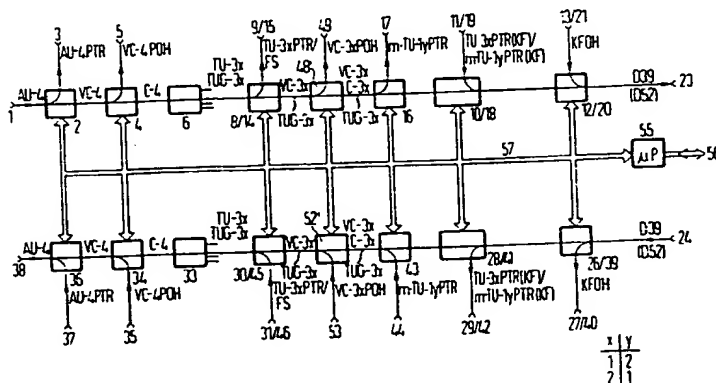
72 Erfinder: Pospischil, Reginhard, Dr.-Ing.
Gabriel-von-Seidl Strasse 15
W-8032 Gräfelfing(DE)
Erfinder: Müller, Horst, Dipl.-Ing.
Dammstrasse 11
W-8021 Hohenschäftlarn(DE)

54 Kreuzschaltungsverfahren (Cross-Connect) für STM-1-Signale der Synchron-Digital-Multiplexhierarchie.

57 Datenblöcke unterschiedlicher Multiplexstruktur der Synchron-Digital-Multiplexhierarchie sollen gemeinsam in einer Cross-Connect-Einrichtung verarbeitet werden. Dazu werden AU-4-Verwaltungseinheiten von STM-1-Signalen, über einen Bus (57) von einem Mikroprozessor (55) gesteuert, in Virtualcontainergruppen annähernd gleichen Umfangs wie TUG-31 und TU-31 aufgelöst (2, 4, 6). Nach Entnahme nicht mehr benötigter Zusatzsignale (8/14, 48, 16) werden diesen Virtualcontainergruppen zur Bildung einheitlicher Koppelfeld-Eingangssignale (D39, D52) jeweils ein individueller Koppelfeld-Taktanpass-

sungszeiger (10/18) und eine individuelle Koppelfeld-zusatzinformation (12/20) beigegeben (Figur oben). Nach einem Umrangieren in einem Koppelfeld werden Koppelfeld-Ausgangssignale die Koppelfeld-Taktanpassungszeiger und -Zusatzinformationen wieder entnommen und ausgewertet. Anschließend werden sie (D59, D52) zur Bildung neuer STM-1-Signale einem entsprechenden Multiplexverfahren unterworfen (Figur unten). Dieses Verfahren ist in Cross-Connect- und Drop-Insert-Multiplexgeräten einsetzbar.

FIG 7



KREUZSCHALTUNGSVERFAHREN (CROSS-CONNECT) FÜR STM-1-SIGNALE DER SYNCHRON-DIGITAL-MULTIPLEXHIERARCHIE

Die Erfindung bezieht sich auf ein Verfahren gemäß dem Oberbegriff des Anspruchs 1.

Die dort angesprochenen Multiplex- und Demultiplexverfahren sind beispielsweise aus der CCITT-Empfehlung G.709, Figur 1.1/G.709 und aus einem Multiplexaufbau bekannt, der bei dem European Transmission Standards Institut ETSI beim TM3-Treffen (Transmission and Multiplexing) in Brüssel zwischen dem 24. und 28. April 1989 behandelt wurde.

Aus der deutschen Offenlegungsschrift DE 35 11 352 A1 ist ein Verfahren und eine Koppelleinrichtung zum Verteilen von plesiochronen Breitband-Digitalsignalen bekannt, bei dem diese Signale von einem zentralen Takt gesteuert unter Stopfen in Zusatzsignale enthaltende Zwischen-Digitalsignale umgesetzt und nach Durchlaufen eines Koppelfeldes wieder in plesiochrone Breitband-Digitalsignale rückumgesetzt werden.

Nach einem älteren Vorschlag (P 39 23 172.0) werden Datenblöcke unterschiedlicher Multiplexebenen in Cross-Connect-Datenblöcke umgesetzt, die in einem festen Überrahmen für eine Übertragungsrate von 38 912 kbit/s (D39-Signal) eingeordnet werden.

Aufgabe der Erfindung ist es, ein Verfahren anzugeben, mit dem Datenblöcke unterschiedlicher Multiplexstruktur in Cross-Connect-Datenblöcke umgesetzt werden können.

Diese Aufgabe wird mit den Merkmalen des Anspruchs 1 gelöst. Ausgestaltungen des Verfahrens sind den Unteransprüchen zu entnehmen.

Eine Virtualcontainergruppe besteht aus einem oder mehreren Virtualcontainern, Untersystemeinheiten oder Untersystemeinheitsgruppen.

Mit diesem Verfahren kann ein Umformer zum Übergang von der Struktur einer Untersystemeinheitsgruppe TUG-31 oder TUG-32 zur Struktur einer Untersystemeinheit TU-31 oder TU-32 realisiert werden. Dieses Verfahren eignet sich ebenso zum Aufbau eines sogenannten Drop-Insert-Multiplexers für die Synchron-Digital-Multiplexhierarchie.

Figur 1 zeigt eine erste Multiplexstruktur,

Figur 2 zeigt einen Untersystemeinheits-Überahmen,

Figur 3 zeigt eine zweite Multiplexstruktur,

Figur 4 zeigt einen Virtualcontainer VC-4 mit einer Untersystemeinheit TU-31 und drei Untersystemeinheitsgruppen TUG-31,

Figur 5a zeigt einen ersten Demultiplexer,

Figur 5b zeigt einen ersten Multiplexer,

Figur 6a zeigt einen zweiten Demultiplexer,

Figur 6b zeigt einen zweiten Multiplexer und

Figur 7 zeigt einen gemeinsam gesteuerten

zweiten Demultiplexer und Multiplexer.

Figur 1 zeigt die Multiplexstruktur nach der CCITT-Empfehlung G.709, Figur 1.1/G.709. Es bedeutet AU Verwaltungseinheit (Administration Unit), C Container, H Digitalsignal, STM Synchroner Transportmodul, TU Untersystemeinheit (Tributary Unit), TUG Untersystemeinheitsgruppe (Tributary Unit Group) und VC Virtualcontainer.

Die zu übertragenden Digitalsignale werden am Eingangsknoten zum synchronen Netz mittels positivem Stopfen in Container C-n eingefügt. Jeder Container wird durch Hinzufügen eines Pfadrahmenkopfes (Path Overhead) POH zu einem Virtualcontainer VC-n ergänzt, die periodisch übertragen werden. Das erste Byte eines Virtualcontainers wird durch einen Zeiger (Pointer) PTR angegeben, dessen zeitliche Lage im Übertragungsrahmen festgelegt ist. Als solcher dient in der Regel der Virtualcontainer einer höheren Hierarchiestufe. Ein Virtualcontainer VC-n bildet mit dem ihm zugeordneten Zeiger eine Untersystemeinheit TU-n. Mehrere dieser gleichen Aufbaus können wieder zu einer Untersystemeinheitsgruppe TUG-n zusammengefaßt werden. In den oben genannten CCITT-Empfehlungen sind Untersystemeinheitsgruppen TUG-21 für die nordamerikanische 1,5 Mbit/s-Hierarchie und TUG-22 für die 2-Mbit/s-Hierarchie genannt, die u.a. in Europa üblich ist.

Figur 1 zeigt die verschiedenen Wege, über die ein Multiplexen oder Demultiplexen möglich ist. So können beispielsweise vierundsechzig H12-Signale über die Untersystemeinheitsgruppe TUG-22 entweder direkt oder auf dem Umweg über den Virtualcontainer VC-31 und die Bildung der Untersystemeinheit TU-31 in den Virtualcontainer VC-4 eingefügt werden.

Wie Figur 2 oder die CCITT-Empfehlung G.709, Figur 3.13/G.709 zeigen, sind die Untersystemeinheiten TU-12 bzw. TU-22 in Überrahmen zu je 500 μ s eingeteilt. Ein solcher enthält vier Rahmen mit einer Periodendauer von 125 μ s. Das erste Byte V1, V2, V3 und V4 eines jeden Rahmens ist in der CCITT-Empfehlung G.709 festgelegt. Die Bytes V1 befinden sich immer in der ersten Zeile eines Überrahmens. Der Pfadrahmenkopf POH des Virtualcontainers VC-31 bzw. des Virtualcontainers VC-4 legt den Überrahmen durch ein Byte H4 fest. Die erste Zeile wird durch ein Byte J1 gekennzeichnet. Bei der direkten Einfügung der Untersystemeinheitsgruppe TUG-22 in den Virtualcontainer VC-4 bestimmt also der Pfadrahmenkopf POH des Virtualcontainers VC-4 die Lage der Bytes Un, während bei einer Einfügung über den Virtualcontainer VC-31 der Pfadrahmen-

kopf VC-31 POH des Virtualcontainers VC-31 die Anordnung der Bytes Vn bestimmt.

Beide Wege haben ihre Vor- und Nachteile. Man benötigt jedoch an beiden Enden einer Verbindung die gleichen Multiplexeinrichtungen, wenn man nicht in die Verbindung einen Umformer einfügt, der beispielsweise aus den sechzehn Untersystemeinheitengruppen TUG-22 des einen Weges vier Untersystemeinheiten TU-31 des anderen Weges formt. Das gilt auch für die Übertragung von maximal sechzehn 8448-kbit/s-Signalen oder von einer Mischung aus 8448- und 2048-kbit/s-Signalen (H12-Signalen). Entsprechendes gilt für den Aufbau des Virtualcontainers VC-4 über einundzwanzig Untersystemeinheitengruppen TUG-21 oder drei Untersystemeinheiten TU-31 für die 1,5-Mbit/s-Hierarchie im oberen Teil der Figur 1.

34368-kbit/s-Signale (H21-Signale) können nur auf dem Weg über den Virtualcontainer VC-31 und die Untersystemeinheit TU-31 eingefügt werden. Eine Mischung von $n \times 4$ Untersystemeinheitengruppen TUG-22 mit $4 - n$ Untersystemeinheiten TU-31 mit $n = 1, 2, 3$ oder 4 ist nach der CCITT-Empfehlung G.709 nicht vorgesehen.

Die Anordnung nach Figur 3 von ETSI unterscheidet sich von der nach Figur 1 durch den Wegfall des Weges von der Untersystemeinheitengruppe TUG-22 über den Virtualcontainer VC-31 und die Untersystemeinheit TU-31 zum Virtualcontainer VC-4. Andererseits ist es möglich, Virtualcontainer VC-4 mit einer Mischung aus $n \times 4$ Untersystemeinheitengruppen TUG-22 und $4 - n$ Untersystemeinheiten TU-31 aufzubauen. Vier Untersystemeinheitengruppen TUG-22 bilden eine Untersystemeinheitengruppe TUG-31. Diese besitzt im Gegensatz zu einer Untersystemeinheit TU-31 keinen eigenen Zeiger und auch keinen gemeinsamen Pfadrahmenkopf. Jedoch sind die zu einer Untersystemeinheitengruppe TUG-31 gehörenden Zeiger der Untersystemeinheiten TU-12 oder TU-22 regelmäßig angeordnet. Ihre Lage ist durch den Pfadrahmenkopf VC-4 POH des Virtualcontainers VC-4 bestimmt. Bei einer solchen Mischung enthalten die ersten vier Spalten eines Containers C-4 die TU-31-Zeiger oder ein festes Muster (Stopfen).

Figur 4 zeigt ein Beispiel, bei dem in einem Virtualcontainer VC-4 alternierend zwei Untersystemeinheitengruppen TUG-31, eine Untersystemeinheit TU-31 und eine dritte Untersystemeinheitengruppe TUG-31 spaltenweise eingefügt werden. Durch eine Auswertung der ersten vier Spalten mit fest gestopften Bytes (Fixed) Stuff FS und einem Zeiger TU-31 PTR erhält man Kenntnis darüber, ob es sich um eine Untersystemeinheitengruppe TUG-31 oder um eine Untersystemeinheit TU-31 handelt. Der Virtualcontainer VC-31, der rechts unten dargestellt ist, wird reihenweise alternierend in die dritten von vier Spalten nach dem Pfadrahmenkopf

VC-4 POH eingefügt, wobei die Lage des Bytes J1 durch den Zeiger TU-31 PTR beschrieben wird. Die Untersystemeinheitengruppen TUG-31 beginnen in den ersten, zweiten und vierten Spalten jeweils mit einem Byte V1, von denen es in diesem Beispiel achtundvierzig gibt.

Bei digitalen Gross-Connectoren wie bei Drop-Insert-Multiplexern müssen alle Signale, die zu einem neuen Ausgangssignal zusammengefaßt werden sollen, auf den Takt und den Rahmen des Ausgangssignals synchronisiert werden. In der Synchron-Digital-Multiplexhierarchie haben alle Ausgangssignale STM-1 eines Netzknotens den gleichen Takt und den gleichen Rahmen. Alle geschlossen durchgereichten, in Untersystemeinheiten zerlegten und nach einer Koppelmatrix erneut zusammengesetzten Signale müssen deshalb vor der Zusammensetzung aufeinander synchronisiert werden.

Figur 5a zeigt einen Demultiplexers, der dem Koppelfeld eingangsseitig vorgeschaltet ist. Die Anordnung enthält einen AU-4-PTR-Auskoppler und -Auswerter 2, einen VC-4-POH-Auskoppler und -Auswerter 4, einen Container-Demultiplexer mit Synchronisiereinrichtung 6, einen Parallelverzweiger 7, einen ersten Weg mit einem TU-3x-PTR-Auskoppler und -Auswerter 8, mit einem TU-3x-Koppelfeld-Taktanpassungszeiger-Einkoppler 10 und mit einer Koppelfeld-Zusatzinformation-Einfügeeinrichtung 12, einen zweiten Weg mit einem Feste-Stopfbytes-Auskoppler 14, mit einem Mehrfach-TU-ly-PTR-Auskoppler und -Auswerter 16, mit einem Mehrfach-Tu-ly-Koppelfeld-Taktanpassungszeiger-Einkoppel- und Synchronisiereinrichtung 18 und mit einer Koppelfeld-Zusatzinformation-Einfügeeinrichtung 20 sowie ferner einen Signalumschalter 22. Die Einheiten 7 bis 22 sind für die 2-Mbit/s-Hierarchie viermal vorhanden, was für erstere durch die vier (Ausgänge des Container-Demultiplexers mit Synchronisiereinrichtung 6 angedeutet ist. Für die europäische Hierarchie gilt $x = 1$ und $y = 2$, für die US-Hierarchie $x = 2$ und $y = 1$. Die für jede Taktanpassung erforderlichen Pufferspeicher sind hier und in den folgenden Figuren der Übersichtlichkeit halber nicht dargestellt.

Dem Eingang 1 wird die AU-4-Verwaltungseinheit eines synchronen Transportmoduls STM-1 zugeführt. Vom AU-4-PTR-Auskoppler und -Auswerter 2 wird der AU-4-PTR-Zeiger über einen Ausgang 3 ausgekoppelt und ausgewertet. Der verbleibende VC-4-Virtualcontainer gelangt zum VC-4-POH-Auskoppler und -Auswerter 4, der den VC-4-POH-Pfadrahmenkopf auswertet und an seinem Ausgang 5 abgibt. Die Information über den Containeranfang und den Überahmenstatus wird den folgenden Schaltungen 6, 8, 14, 16, 18 und 20 mitgeteilt. Der C-4-Container gelangt zum Container-Demultiplexer

mit Synchronisierereinrichtung 6. In diesem wird er für die 2-Mbit/s-Hierarchie in vier und für die 1,5-Mbit/s-Hierarchie in drei TU-3x-Untersystemeinheiten, vier TUG-3x-Untersystemeinheitsgruppen oder eine Mischung aus beiden aufgespalten. Den vier Parallelverzweigern 7 wird entweder jeweils eine TU-3x-Untersystemeinheit oder eine TUG-3x-Untersystemeinheitsgruppe zugeführt.

In dem TU-3x-PTR-Auskoppler und -Auswerter 8 im ersten Weg und dem Feste-Stopfbytes-Auskoppler 14 im zweiten Weg wird untersucht, ob ein TU-3x-PTR-Zeiger oder ob feste Stopfbytes FS vorhanden sind. Ist ein TU-3x-PTR-Zeiger vorhanden, wird dieser ausgewertet und über einen Ausgang 9 abgegeben. Die Information über den Containeranfang und den Überrasamenstatus wird den folgenden Schaltungen 10 und 12 mitgeteilt. Sind feste Stopfbytes FS vorhanden, werden diese über einen Ausgang 15 abgegeben.

Am Ausgang des TU-3x-PTR-Auskopplers und -Auswerter 8 steht gegebenenfalls ein VC-3x-Virtualcontainer mit seinem Quellentakt zur Verfügung. Dieser VC-3x-Virtualcontainer wird in dem TU-3x-Koppelfeld-Taktanpassungszeiger-Einkoppler 10 auf den örtlichen vom Netzknotentakt abgeleiteten Koppelfeldtakt unter Einfügung eines TU-3x-PTR-(KF)-Zeigers zur Taktanpassung aufsynchronisiert und in der Koppelfeld-Zusatzinformation-Einfügeeinrichtung 12 mit der Koppelfeld-Zusatzinformation KFOH am Eingang 13 in einen Koppelfeld-Übersahmen eingefügt. Ist der Ausgang 23 über den Signalumschalter 22 mit dem Ausgang der Koppelfeld-Zusatzinformation-Einfügeeinrichtung 12 verbunden, steht am Ausgang für $x = 1$ ein D39-Digitalsignal und für $x = 2$ ein D52-Digitalsignal zur Verfügung. Dieses kann entweder einem nicht dargestellten Demultiplexer zur Auflösung des VC-3x-Virtualcontainers oder einem Multiplexer nach Figur 5b zum Aufbau einer neuen AU-4-Verwaltungseinheit zugeführt werden.

Würden jedoch in dem Feste-Stopfbytes-Auskoppler 14 feste Stopfbytes erkannt, träte an dessen Hauptausgang eine TUG-3x-Untersystemeinheitsgruppe auf, die entweder aus sechzehn TU-12-Untersystemeinheiten oder aus achtundzwanzig TU-11-Untersystemeinheiten (m TU-ly-Untersystemeinheiten) bestünde. In dem Mehrfach-TU-ly-PTR-Auskoppler und -Auswerter 16 würden m TU-ly-PTR-Zeiger ausgewertet und über einen Ausgang 17 entfernt. Vom Mehrfach-TU-ly-PTR-Auskoppler und -Auswerter 16 gelangten m VC-ly-Virtualcontainer zur Mehrfach-TU-ly-Koppelfeld-Taktanpassungszeiger-Einkoppel- und Synchronisierereinrichtung 18. Dort würden sie unter Einfügung von m TU-ly-PTR-(KF)-Zeigern auf den örtlichen Koppelfeldtakt aufsynchronisiert und in der Koppelfeld-Zusatzinformation-Einfügeeinrichtung 20 unter Zuführung der Koppelfeld-Zusatzinformation

KFOH über einen Eingang 21 in den Koppelfeld-Übersahmen eingebettet. Verbände der Signalumschalter 22 setzen den Ausgang 23 mit dem Hauptausgang der Koppelfeld-Zusatzinformation-Einfügeeinrichtung 20, gelangte ebenfalls entweder ein D39- oder ein D52-Digitalsignal zum Ausgang 23.

Die Koppelfeldzusatzinformation-Einfügeeinrichtung 20 enthält zweckmäßigerweise auch eine "Router"-Funktion (Zeit-Koppelfeld), mit der die zeitliche Reihenfolge der m VC-ly-Virtualcontainer variiert werden kann.

Das jetzt am Ausgang 23 zu Verfügung stehende D39- oder D52-Digitalsignal kann über einen Zeitschlitz-gesteuertes Koppelfeld entweder einen nicht dargestellten Demultiplexer zur Auflösung der einzelnen VC-ly-Virtualcontainer über C-ly-Container in plesiochrone Signale Hly oder einem Multiplexer nach der Figur 5b zum Aufbau neuer AU-4-Verwaltungseinheiten zugeführt werden.

Figur 5b zeigt einen Multiplexer für die Sendeseite des Koppelfeldes. Die Anordnung enthält einen Parallelverzweiger 25, einen ersten Weg mit einer Koppelfeld-Zusatzinformation-Auskoppeleinrichtung 26, mit einem TU-3x-Koppelfeld-Taktanpassungszeiger-Auskoppler und -Auswerter 28 und mit einem TU-3x-PTR-Einkoppler 30, ferner einen Signalumschalter 32, einen Container-Multiplexer 33, einen VC-4-POH-Einkoppler 34, einen AU-4-PTR-Einkoppler 36, einen zweiten Weg mit einer Koppelfeld-Zusatzinformation-Auskoppeleinrichtung 39 mit einem Mehrfach-TU-ly-Koppelfeld-Taktanpassungszeiger-Auskoppler und -Auswerter 41, mit einem Mehrfach-TU-ly-PTR-Einkoppler 43 und mit einem Feste-Stopfbytes-Einkoppler 45.

Das Multiplexverfahren läuft in umgekehrter Reihenfolge ab wie beim Demultiplexer nach Figur 5a. Zuerst wird in der Koppelfeld-Zusatzinformation-Auskoppeleinrichtung 26 die Koppelfeld-Zusatzinformation KFOH ausgekoppelt, ausgewertet und über den Ausgang 27 abgegeben. In dem TU-3x-Koppelfeld-Taktanpassungszeiger-Auskoppler und -Auswerter 28 wird der TU-3x-PTR-(KF)-Zeiger ausgewertet und über den Ausgang 29 abgegeben. Dem verbleibenden VC-3x-Virtualcontainer wird im TU-3x-PTR-Einkoppler 30 über den Eingang 31 ein TU-3x-PTR-Zeiger hinzugefügt. Hierbei ist jedoch keine Taktanpassung durch Stopfen erforderlich, da alle D39- bzw. D52-Digitalsignale vor dem Koppelfeld bereits auf den Netzknotentakt synchronisiert wurden.

In der Koppelfeld-Zusatzinformation-Auskoppeleinrichtung 39 wird bei dem D39- oder D52-Digitalsignal die Koppelfeld-Zusatzinformation KFOH ausgewertet und über den Ausgang 40 abgegeben. Die verbleibenden m TU-ly-Untersystemeinheiten gelangen zum Mehrfach-TU-ly-Koppelfeld-Taktanpassungszeiger-Auskoppler und -Auswerter 41, wo die m TU-ly-PTR-(KF)-Zeiger ausgewertet

und über den Ausgang 42 abgegeben werden. Auch hier ist keine Taktanpassung durch Stopfen erforderlich, da alle D39- bzw. D52-Digitalsignale bereits vor dem Koppelfeld auf den Netzknotentakt synchronisiert wurden. Den verbleibenden m VC-ly-Virtualcontainern werden in den Mehrfach-TU-ly-PTR-Einkoppler 43 über einen Eingang 44 m TU-ly-PTR-Zeiger zugeführt. In die abgegebene TUG-3x-Untersystemeinheitengruppe werden in dem Feste-Stopfbytes-Einkoppler 45 feste Stopfbytes FS hinzugefügt.

Die Stellung des Signalumschalters 32 richtet sich nach dem Signalinhalt des D39- bzw. D52-Signals oder wird von einem Netzwerk-Management bestimmt. Im Container-Multiplexer 33 erfolgt ein byteweises Verschachteln für die 2-Mbit/s-Hierarchie von vier und für die 1,5-Mbit/s-Hierarchie von drei TU-3x-Untersystemeinheiten und/oder TUG-3x-Untersystemeinheitengruppen. Im VC-4-POH-Einkoppler 34 wird dem C-4-Container über einen Eingang 35 ein VC-4-POH-Pfadrahmenkopf zugefügt. Dem so gebildeten VC-4-Virtualcontainer wird im AU-4-PTR-Einkoppler 36 über einen Eingang 37 ein AU-4-PTR-Zeiger zugefügt, so daß am Ausgang 38 eine AU-4-Verwaltungseinheit eines synchronen Transportmoduls STM-1 abgegeben werden kann.

Der in der Figur 5a gezeigte Demultiplexer und der in Figur 5b gezeigte Multiplexer ist für "Drop and Insert"-Funktionen, "Routing"-Funktionen und Cross Connects für Signale an den Knoten von TUG-3x-Untersystemeinheitengruppen des ETSI-Vorschlags nach Figur 3 geeignet.

Mit den in den Figuren 6a und 6b gezeigten zusätzlichen Funktionen können auch TUG-2y-Untersystemeinheitengruppen nach Figur 1 über VC-3x-Virtualcontainer und TU-3x-Untersystemeinheiten in den VC-4-Virtualcontainer geführt und in entsprechender Weise behandelt werden.

Der Demultiplexer nach Figur 6a enthält im Gegensatz zum Demultiplexer nach Figur 5a zusätzlich einen dritten Weg mit einer Parallelverzweigung 47, mit einem VC-3x-POH-Auskoppler 48 und mit einem Signalumschalter 50. Der Multiplexer nach Figur 6b enthält im Gegensatz zu dem nach Figur 5b zusätzlich einen dritten Weg mit einem Signalumschalter 51, mit einem VC-3x-POH-Einkoppler 52 und mit einer Parallelverzweigung 54. Soll ein VC-3x-Virtualcontainer in geschlossener Form durchgeschaltet werden, so führt der Weg über die Einheiten 47, 10, 12 und 22 bzw. 25, 26, 28 und 51. Soll jedoch ein VC-3x-Virtualcontainer in seine TU-ly-Untersystemeinheiten zerlegt werden, so werden die Wege über die Einheiten 47, 48, 50, 16, 18, 20 und 22 bzw. 25, 39, 41, 43, 54, 52 und 51 aktiviert. Im VC-3x-POH-Auskoppler 48 wird einem VC-3x-Virtualcontainer über einen Ausgang 49 der VC-3x-POH-Pfadrahmenkopf ent-

nommen und ausgewertet. Dieser gibt für den C-3x-Container Anfangsbyte und Überraschenszugehörigkeit an. Der Inhalt des C-3x-Containers hat den gleichen Aufbau wie eine TUG-3x-Untersystemeinheitengruppe und kann deshalb wie in Figur 5a über die Einheiten 16, 18 und 20 weiterbehandelt werden.

Entsprechend wird in Figur 6b dem VC-3x-POH-Einkoppler 52 über einen Eingang 53 ein VC-3x-POH-Pfadrahmenkopf hinzugefügt.

Die in den Figuren 5a, 5b, 6a und 6b gezeigten Funktionen in den jeweils ersten und zweiten Wegen stimmen weitgehend überein. So wird in den Figuren 5a und 5b in den Einheiten 8 und 14 die Zeigerspalte einer ankommenden TU-3x-Untersystemeinheit untersucht und ausgeblendet. Die Einheiten 10 und 18 dienen der Einfügung der auf den Koppelfeldtakt und Überraschens synchronisierten TU-3x-PTR-(KF)-Zeiger und die Einheiten 12 und 20 dienen der Einfügung der Koppelfeld-Zusatzinformation KFOH. Entsprechendes gilt für die Multiplexerseite in den Figuren 5b und 6b.

Figur 7 zeigt eine Anordnung, in der diese parallelen Funktionen jeweils von einer einzigen Funktionseinheit ausgeführt werden. Diese erhalten Bezugszeichen, bei denen die zwei ursprünglichen Bezugszeichen durch einen Schrägstrich verbunden sind. Der VC-3x-POH-Auskoppler 48Y und der VC-3x-POH-Einkoppler 52' müssen noch Durchschaltfunktionen für den jeweils ersten und zweiten Weg übernehmen.

Eine am Eingang 1 ankommende AU-4-Verwaltungseinheit wird in den Einrichtungen 2, 4 und 6 aufbereitet, auf den Netzknotentakt synchronisiert und in ihre TU-3x-Untersystemeinheiten oder takt synchronisiert und in ihre TU-3x-Untersystemeinheiten oder TUG-3x-Untersystemeinheitengruppen aufgeteilt. In der Einheit 8/14 wird festgestellt, ob die erste Zeigerspalte einen TU-3x-PTR-Zeiger oder feste Stopfbytes FS enthält. Im ersten Fall werden nur die ersten drei Bytes der Spalte ausgewertet und dem Signal entnommen. Im zweiten Fall wird dagegen die ganze Spalte mit neun Bytes entnommen. Soll die TU-3x-Untersystemeinheit oder die TUG-3x-Untersystemeinheitengruppe weiter, beispielsweise in ihre m TU-ly-Untersystemeinheiten zerlegt werden, so wird zunächst für eine TU-3x-Untersystemeinheit der VC-3x-POH-Pfadrahmenkopf in der Einheit 48' aufgelöst. Dieser Schritt entfällt bei einer TUG-3x-Untersystemeinheitengruppe. Anschließend müssen in der Einheit 16 die m TU-ly-PTR-Zeiger unter Zuhilfenahme des Bytes H₄ aus dem VC-4-POH-Pfadrahmenkopf oder dem VC-3x-POH-Pfadrahmenkopf ausgewertet werden. Es folgt in der Einheit 10/18 die Synchronisierung auf den Koppelfeldtakt und Überraschens und ein Einsetzen der TU-3x-PTR-(KF)-Zeiger oder TU-ly-PTR-(KF)-Zeiger des Koppelfeldes. Durch Hinzufü-

gen der Koppelfeld-Zusatzinformation KFOH in der Einheit 12/20 wird das D39- bzw. D52-Signal gebildet.

Der Aufbau des Multiplexsignals in der Gegenrichtung erfolgt zwischen dem Eingang 24 und dem Ausgang 38 entsprechend. Alle Funktionseinheiten werden über ein Bussystem 57 von einem Mikroprozessor 55 gesteuert, der über einen Anschluß 56 mit einem Netzmanagementsystem verbunden ist.

Alle Funktionseinheiten können in einer integrierten Schaltung realisiert sein.

Ansprüche

1. Kreuzschaltungsverfahren (Cross-Connect) für STM-1-Signale der Synchron-Digital-Multiplexhierarchie unter mehrfacher Verwendung von Demultiplexverfahren, bei denen jedes STM-1-Signal zuerst in drei (AU-32, TU-32, TUG-32) bzw. vier (AU-31, TU-31, TUG-31) Obereinheiten und diese anschließend jeweils in Untereinheiten (TUG-21, TU-11, TU-12, TUG-22, TU-12, TU-22) einschließlich einzelner Ausgänge (VC-32, VC-31) zur Abtrennung von 1544-, 6312-, 44736-, 2048-, 8448- und/oder 34368-kbit/s-Signalen wahlweise über verschiedene Wege zerlegt werden, unter mehrfacher Verwendung von diese Demultiplexverfahren umkehrenden Multiplexverfahren und unter Verwendung von Verfahren zum Betrieb eines Koppelfeldes, **dadurch gekennzeichnet**, daß in den Demultiplexverfahren STM-1-Signale in Virtualcontainergruppen annähernd gleichen Umfangs aufgelöst werden, daß diesen Virtualcontainergruppen zur Bildung einheitlicher Koppelfeld-Eingangssignale unter Verzicht auf nicht mehr benötigte Zusatzsignale jeweils ein individueller Koppelfeld-Taktanpassungszeiger und eine individuelle Koppelfeld-Zusatzinformation beigegeben wird, daß vom Signalinhalt der Koppelfeld-Eingangssignale und/oder von einem Netzwerk-Management gesteuert, dem Koppelfeld jeweils aus einer Obereinheit stammende Koppelfeld-Eingangssignale zugeführt werden, daß die Virtualcontainer der Koppelfeld-Eingangssignale vor Aufnahme in die Koppelfeld-Ausgangssignale umrangiert werden, daß die Koppelfeld-Zusatzinformation den Koppelfeld-Ausgangssignalen entnommen und ausgewertet wird, daß die Koppelfeld-Ausgangssignale jeweils einem Multiplexverfahren zur Bildung von STM-1-Ausgangssignalen unterworfen werden und daß vom Signalinhalt der Koppelfeld-Ausgangssignale und/oder von dem Netzwerk-Management gesteuert, dabei je ein Weg im Multiplexverfahren ausgewählt wird.

2. Verfahren nach Anspruch 1,

dadurch gekennzeichnet, daß als Koppelfeld-Zusatzinformation ein Koppelfeld-Rahmenkennkennungswort, Koppelfeldweg-Adressen und Koppelfeld-Qualitätsüberwachungsinformationen vorgesehen sind.

3. Verfahren nach Anspruch 1,

dadurch gekennzeichnet,

daß eine Koppelfeld-Zusatzinformation nur den dem Koppelfeld zugeführten Koppelfeld-Eingangssignalen beigegeben wird.

4. Verfahren nach Anspruch 1,

dadurch gekennzeichnet,

daß Virtualcontainergruppen 16 x VC-12, 4 x VC-22, 1 x VC-31, 20 x VC-11 und/oder 5 x VC-21 vorgesehen sind,

daß Koppelfeld-Taktanpassungszeiger TU-12 PTR (KF), TU-22 PTR (KF), TU-31 PTR (KF), TU-11 PTR (KF) und/oder TU-21 PTR (KF) vorgesehen sind und

daß Koppelfeld-Eingangssignale und Ausgangssignale (D39) einer Bitrate von 38912 kbit/s vorgesehen sind.

5. Verfahren nach Anspruch 1,

dadurch gekennzeichnet,

daß Virtualcontainergruppen 28 x VC-11, 7 x VC-21, 1 x VC-32 und/oder 21 x VC-12 vorgesehen sind,

daß Koppelfeld-Taktanpassungszeiger TU-11 PTR (KF), TU-21 PTR (KF), TU-32 PTR (KF) und/oder TU-12 PTR (KF) vorgesehen sind und

daß Koppelfeld-Eingangssignale und Ausgangssignale (D52) einer Bitrate von 51968 kbit/s vorgesehen sind.

6. Verfahren nach Anspruch 1 für die Koppelfeld-Eingangsseite, bei dem einem STM-1-Signal aus seiner AU-4-Verwaltungseinheit unter Auskopplung und Auswertung eines AU-4-PTR-Verwaltungseinheitszeigers ein VC-4-Virtualcontainer entnommen wird, bei dem dem VC-4-Virtualcontainer unter Auskopplung und Auswertung seines VC-4-POH-Pfadrahmenkopfes sein C-4-Container entnommen wird und

bei dem der CG-4-Container in vier Alternativpaare jeweils aus einer TU-3x-Untersystemeinheit oder einer TUG-3x-Untersystemeinheit aufgeteilt wird,

dadurch gekennzeichnet,

daß jedes Alternativpaar zwei eingangsseitig verbundenen und ausgangsseitig wechselweise zum Koppelfeld durchschaltbaren Wegen zugeführt wird,

daß im ersten Weg einer TU-3x-Untersystemeinheit sein VC-3x-Virtualcontainer unter Auskopplung und Auswertung des TUG-3x-PTR-Untersystemeinheit-zeiger entnommen und dem VC-3x-Virtualcontainer ein

TU-3x-PTR-(KF)-Koppelfeld-Taktanpassungszeiger und eine Koppelfeld-Zusatzinformation (KFOH) hinzugefügt wird und

daß im zweiten Weg einer TUG-3x-Untersystemeinheitengruppe eine feste Stopfung (FS) und eine Anzahl m von TUG-ly-PTR-Untersystemeinheitenszeigern unter Auswertung entnommen und der verbleibenden Anzahl m von VC-ly-Virtualcontainern eine Anzahl m von TU-ly-PTR(KF)-Koppelfeld-Taktanpassungszeigern und eine Koppelfeld-Zusatzinformation (KFOH) zur Bildung eines Koppelfeld-Eingangssignals (D39, D52) hinzugefügt werden ($x = 1$ und $y = 2$ oder $x = 2$ und $y = 1$).

7. Verfahren nach Anspruch 6,

dadurch gekennzeichnet,

daß der VC-3x-Virtualcontainer einem vom ersten Weg abzweigenden dritten Weg zugeführt wird, daß auf dem dritten Weg dem VC-3x-Virtualcontainer unter Auskopplung seines VC-3x-POH-Pfadrahmenkopfes sein C-3x-Container entnommen wird und

daß dieser C-3x-Container anstelle von einer TUG-3x-Untersystemeinheitengruppe ohne feste FS-Stopfung unter Abschaltung des entsprechenden ersten Teils des zweiten Weges in den verbleibenden Teil des zweiten Weges eingespeist wird.

8. Verfahren nach Anspruch 1 für jeweils vier Koppelfeld-Ausgangssignale,

bei dem C-4-Containern zur Bildung eines VC-4-Virtualcontainers jeweils ein VC-4-POH-Pfadrahmenkopf hinzugefügt wird und

bei dem VC-4-Virtualcontainern zur Bildung von AU-4-Verwaltungseinheiten von STM-1-Signalen jeweils ein AU-4-PTR-Zeiger hinzugefügt wird,

dadurch gekennzeichnet,

daß Gruppen von vier Koppelfeld-Ausgangssignalen gebildet werden,

daß jedes Koppelfeld-Ausgangssignal (D39, D52) zwei eingangsseitig verbundenen und ausgangsseitig wechselweise durchschaltbaren Wegen zugeführt werden,

daß im ersten Weg zur Gewinnung einer TU-3x-Untersystemeinheit die Koppelfeld-Zusatzinformation (KFOH) und der TU-3x-PTR(KF)-Koppelfeld-Taktanpassungszeiger entnommen und ein TU-3x-PTR-Zeiger hinzugefügt werden,

daß im zweiten Weg zur Gewinnung einer TUG-3x-Untersystemeinheitengruppe die Koppelfeld-Zusatzinformation (KFOH) und eine Anzahl m von TU-ly-PTR(KF)-Koppelfeld-Taktanpassungszeigern entnommen und eine Anzahl m von TU-ly-PTR-Zeigern und eine feste Stopfung (FS) hinzugefügt werden und

daß entweder die TU-3x-Untersystemeinheit oder die TUG-3x-Untersystemeinheitengruppe jedes der vier Alternativpaare jeweils in einen C-4-Container eingefügt werden ($x = 1$ und $y = 2$ oder $x = 2$ und $y = 1$).

9. Verfahren nach Anspruch 8,

dadurch gekennzeichnet,

daß die TUG-3x-Untersystemeinheitengruppe ohne

festen Stopfung (FS) einem vom zweiten Weg nach der Einkopplung einer Anzahl m von TU-ly-PTR-Zeigern abzweigenden dritten Weg zugeführt wird, daß im dritten Weg dem C-3x-Container zur Bildung eines VC-3x-Virtualcontainers ein VC-3x-POH-Pfadrahmenkopf hinzugefügt wird und daß dieser VC-3x-Virtualcontainer zur Aufnahme eines TU-3x-PTR-Zeigers unter Abschaltung des entsprechenden ersten Teils des ersten Weges in den verbleibenden Teil des ersten Weges eingespeist wird.

10. Verfahren nach Anspruch 6, 7, 8 oder 9,

dadurch gekennzeichnet,

daß gleiche Verfahrensschritte im ersten und zweiten Weg mit jeweils einer Anordnung im Zeitmultiplex durchgeführt werden.

11. Verfahren nach Anspruch 6, 7, 8, 9 oder 10,

dadurch gekennzeichnet,

daß Umschaltsschritte vom Signalinhalt und/oder von einem Netzwerk-Management ausgelöst werden.